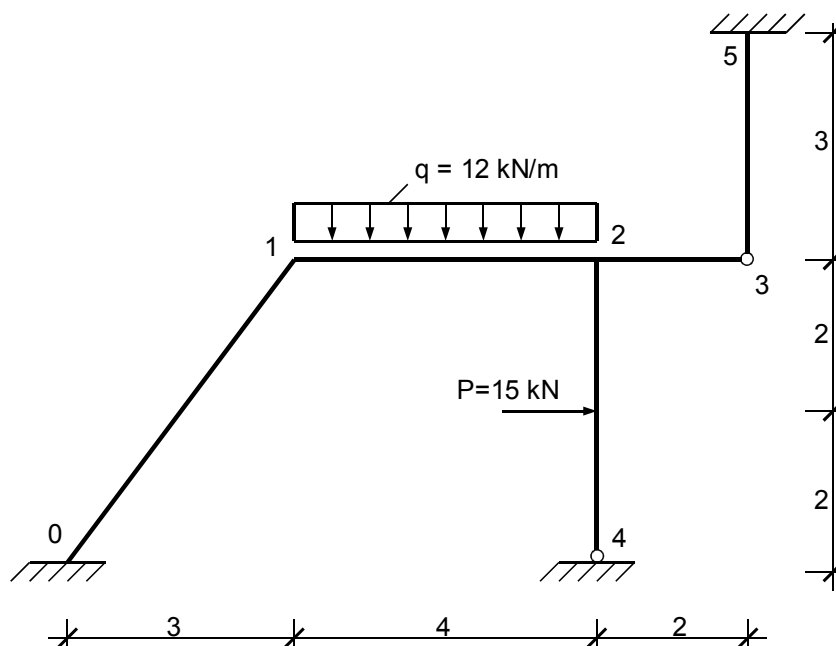


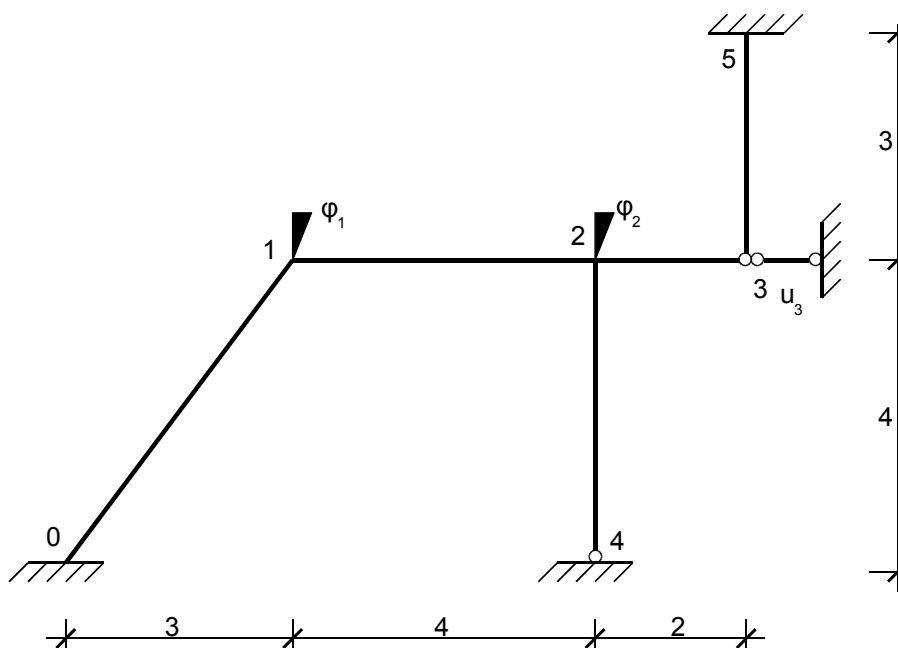
1.

1. METODA PRZEMIESZCZEŃ

1.1. Obliczanie sił wewnętrznych od obciążenia zewnętrznego



Rys. 1.1. Schemat konstrukcji

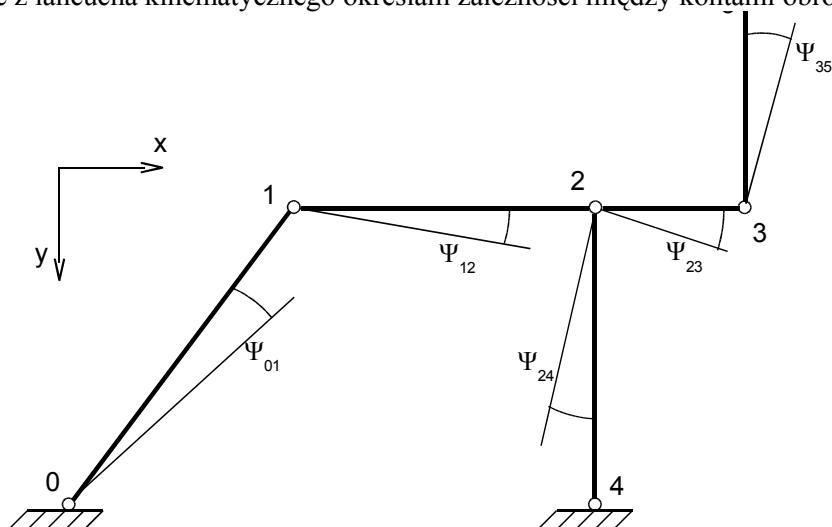


Rys. 1.2. Układ podstawowy metody przemieszczeń

Do wyliczenia mamy 3 niewiadome:

$$\begin{aligned} z_1 &= \varphi_1 \\ z_2 &= \varphi_2 \\ z_3 &= \Delta_3 \end{aligned} \quad (1.1)$$

Korzystając z łańcucha kinematycznego określam zależności między kontami obrotu cięć prętów:



Rys. 1.3. Łańcuch kinematyczny

Łańcuch 0-1-2-4:

$$\begin{aligned} \sum X: 4\Psi_{01} - 4\Psi_{23} &= 0 \rightarrow \Psi_{01} = \Psi_{23} \\ \sum Y: 3\Psi_{01} + 4\Psi_{12} &= 0 \rightarrow \Psi_{12} = -\frac{3}{4}\Psi_{01} \end{aligned} \quad (1.2)$$

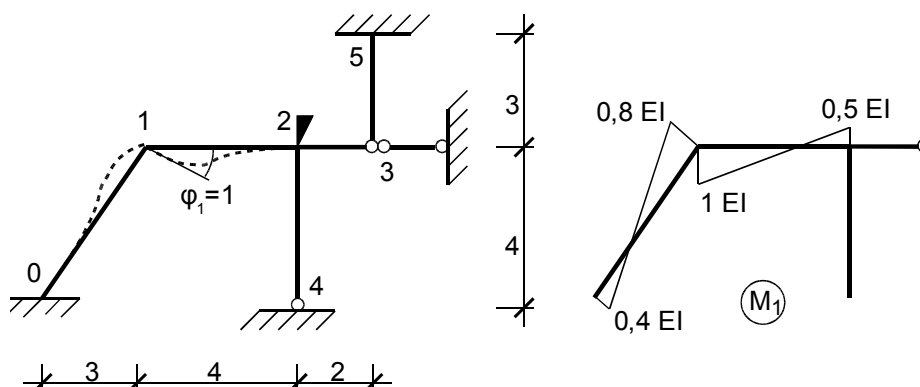
Łańcuch 4-2-3-5:

$$\begin{aligned} \sum X: 4\Psi_{24} + 0 + 3\Psi_{35} &= 0 \rightarrow \Psi_{35} = -\frac{4}{3}\Psi_{24} \\ \sum Y: 0 + 2\Psi_{23} + 0 &= 0 \rightarrow \Psi_{23} = 0 \end{aligned} \quad (1.3)$$

Przy założeniu, że $\Psi_{24} = \Psi$ otrzymujemy:

$$\begin{aligned} \Psi_{01} &= \Psi \\ \Psi_{12} &= -\frac{3}{4}\Psi \\ \Psi_{23} &= 0 \\ \Psi_{24} &= \Psi \\ \Psi_{35} &= -\frac{4}{3}\Psi \end{aligned} \quad (1.4)$$

Stan $z_1 = 1$ ($\varphi_1 = 1$)



Rys. 1.4. Stan $z_1 = 1$

Wartości momentów obliczam ze wzorów transformacyjnych:

- dla belki obustronnie utwierdzonej:

$$M_{ik} = 2 \frac{EI}{l} (2\varphi_i + \varphi_k - 3\Psi_{ik}) + M_{ik}^0 \quad (1.5)$$

$$M_{ki} = 2 \frac{EI}{l} (2\varphi_k + \varphi_i - 3\Psi_{ik}) + M_{ki}^0$$

- dla belki utwierdzonej z jednej strony i połączonej przegubem z drugiej:

$$M_{ik} = 3 \frac{EI}{l} (\varphi_i - \Psi_{ik}) + M_{ik}^0 \quad (1.6)$$

$$M_{ki} = 0$$

Podstawiając odpowiednie wartości otrzymujemy

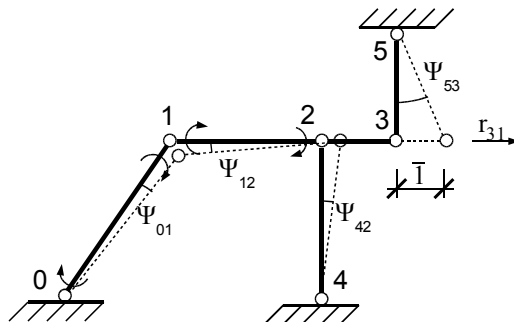
$$\begin{aligned} M_{01} &= 0,4 EI \\ M_{10} &= 0,8 EI \\ M_{12} &= 1,0 EI \\ M_{21} &= 0,5 EI \end{aligned} \quad (1.7)$$

Na podstawie warunków równowagi węzłów wyznaczam wartości r_{11} i r_{21}

$$r_{11} = \frac{4}{5} EI + 1 EI = 1,8 EI \quad (1.8)$$

$$r_{21} = 0,5 EI$$

Korzystając z zasady pracy wirtualnej obliczam wartość r_{31}



Rys. 1.5. Wirtualne przemieszczenie więzu nr 3

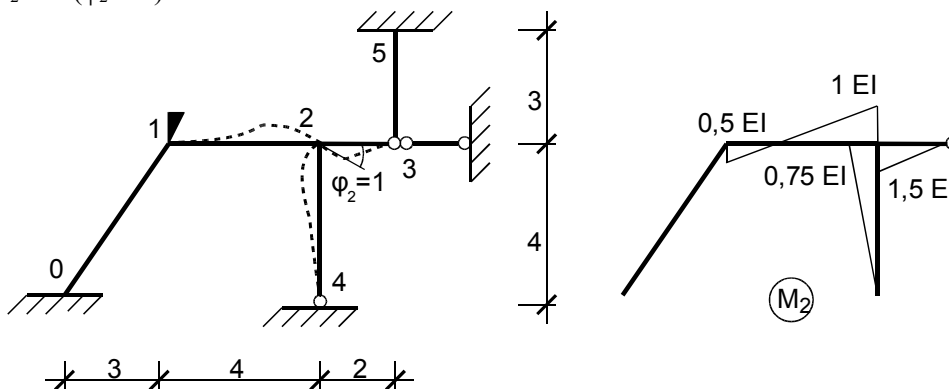
Zgodnie z zasadą pracy wirtualnej przy wirtualnym stanie przemieszczenia można zapisać:

$$r_{31} \cdot \bar{I} + (0,8 EI + 0,4 EI) \Psi_{01} + (1 EI + 0,5 EI) \Psi_{12} = 0$$

$$r_{31} + 1,2 EI \cdot \frac{1}{4} + 1,5 EI \left(-\frac{3}{16}\right) = 0 \quad (1.6)$$

$$r_{31} = -0,01875 EI$$

Stan $z_2 = 1$ ($\varphi_2 = 1$)

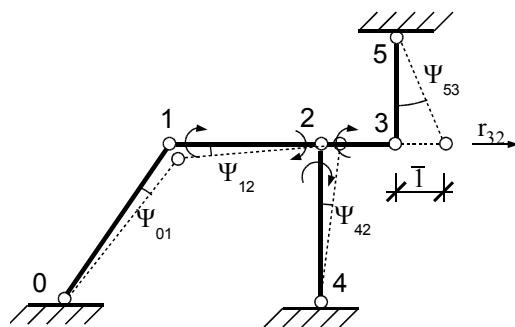


Rys. 1.6. Stan $z_2 = 1$

Wartości r_{12} , r_{22} i r_{31} obliczono postępując podobnie jak przy stanie $z_1 = 1$

$$r_{12} = 0,5 EI$$

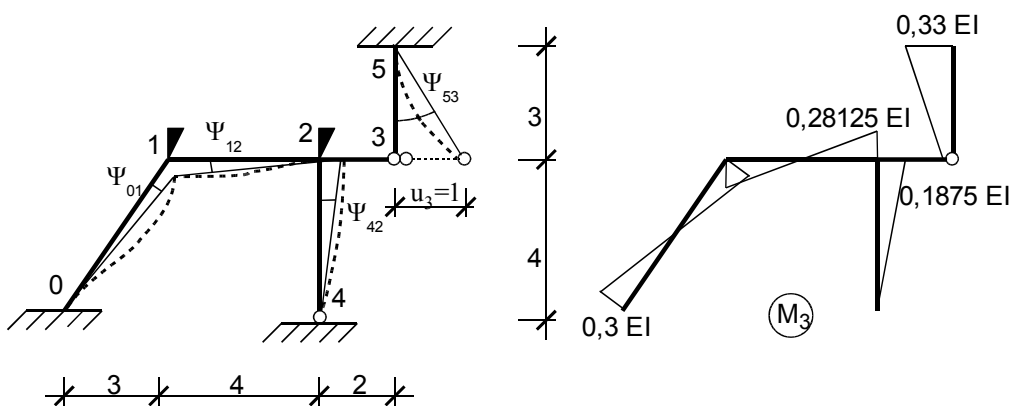
$$r_{21} = 1 EI + 0,7525 EI + 1,5 EI = 3,2525 EI \quad (1.7)$$



Rys. 1.7. Wirtualne przemieszczenie więzu nr 3

$$\begin{aligned}
 r_{32} \cdot \bar{1} + (0,5 EI + 1 EI) \Psi_{12} + 0,75 EI \cdot \Psi_{24} &= 0 \\
 r_{32} + 1,5 EI \left(-\frac{3}{16}\right) + 0,75 EI \cdot \frac{1}{4} &= 0 \\
 r_{32} &= 0,09375 EI
 \end{aligned}
 \tag{1.8}$$

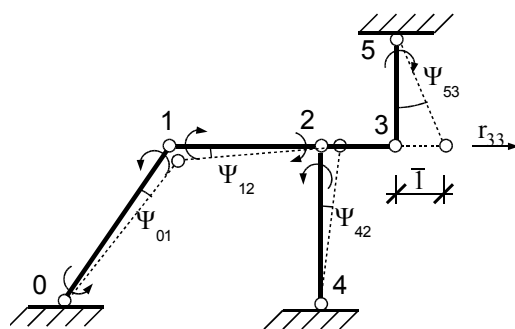
Stan $z_3 = 1$ ($u_3 = 1$)



Rys. 1.8. Stan $z_3 = 1$

Wartości r_{12} , r_{22} i r_{31} obliczono postępując podobnie jak przy stanie $z_1 = 1$

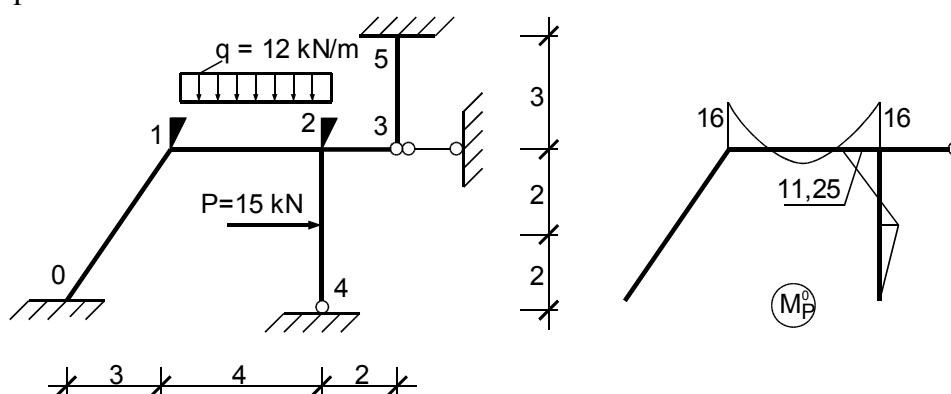
$$\begin{aligned}
 r_{13} &= 0,3 EI - 0,28125 EI = 0,01875 EI \\
 r_{21} &= 0,28125 EI - 0,1875 EI = 0,09375 EI
 \end{aligned}
 \tag{1.9}$$



Rys. 1.9. Wirtualne przemieszczenie więzu nr 3

$$\begin{aligned}
 r_{33} \cdot \bar{1} - (2 \cdot 0,3 EI) \Psi_{01} + (2 \cdot 0,28125 EI) \Psi_{12} - 0,1875 EI \Psi_{24} + 0,33 EI \Psi_{35} &= 0 \\
 r_{33} - 0,6 EI \cdot \frac{1}{4} - 0,5625 EI \left(-\frac{3}{16}\right) - 0,1875 EI \cdot \frac{1}{4} + 0,33 EI \left(-\frac{4}{12}\right) &= 0 \\
 r_{32} &= 0,41345 EI
 \end{aligned}
 \tag{1.10}$$

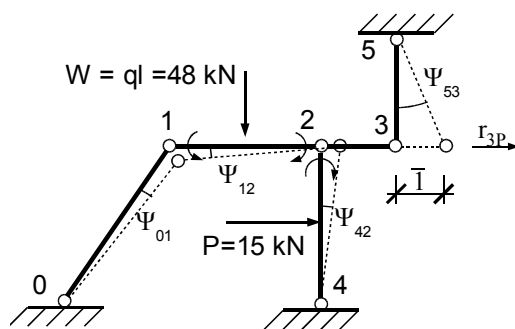
Stan "P"



Rys. 1.10. Stan "P"

Wartości r_{12} , r_{22} i r_{31} obliczono postępując podobnie jak wcześniej

$$\begin{aligned}
 r_{1p} &= -16 \\
 r_{2p} &= 16 + 11,25 = 27,25
 \end{aligned}
 \tag{1.11}$$



Rys. 1.11. Wirtualne przemieszczenie więzu nr 3

$$\begin{aligned}
 r_{3P} \cdot \bar{1} + (16 - 16) \Psi_{12} + W \cdot \Psi_{12} \cdot \frac{4}{2} + 11,25 \Psi_{24} + P \cdot \Psi_{24} \cdot \frac{4}{2} &= 0 \\
 r_{3P} + 48 \cdot \frac{3}{16} \cdot 2 + 11,25 \cdot \frac{1}{4} + 15 \cdot \frac{1}{4} \cdot 2 &= 0 \\
 r_{3P} &= -28,3152
 \end{aligned} \tag{1.12}$$

Znając wartości współczynników r_{ik} i r_{ip} można obliczyć wartości przemieszczeń niewiadomych:

$$\begin{bmatrix} 1,8 EI & 0,5 EI & -0,01875 EI \\ 0,5 EI & 3,2525 EI & 0,09375 EI \\ -0,01875 EI & 0,09375 EI & 0,41345 EI \end{bmatrix} \cdot \begin{bmatrix} z_1 \\ z_2 \\ z_3 \end{bmatrix} + \begin{bmatrix} -16 \\ 27,25 \\ -28,3125 \end{bmatrix} = \begin{bmatrix} 0 \\ 0 \\ 0 \end{bmatrix} \tag{1.13}$$

Po rozwiązaniu układu otrzymano:

$$\begin{aligned}
 z_1 = \varphi_1 &= 13,10 EI^{-1} \\
 z_2 = \varphi_2 &= -12,46 EI^{-1} \\
 z_3 = u_3 &= 71,90 EI^{-1}
 \end{aligned} \tag{1.14}$$

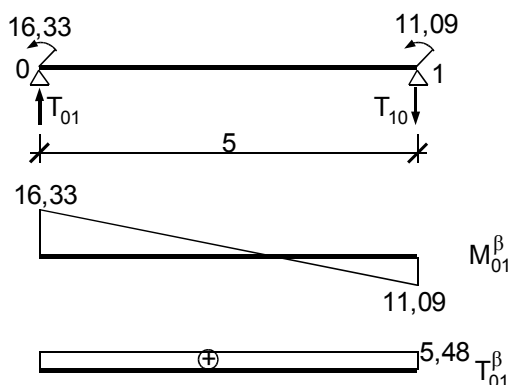
Znając wartości przemieszczeń można obliczyć wartości momentów przywęzłowych korzystając z zależności:

$$M_{ik} = M_{ik}^0 + M_{ik}^{(1)} \varphi_1 + M_{ik}^{(2)} \varphi_2 + M_{ik}^{(3)} u_3 \tag{1.15}$$

Podstawiając odpowiednie wartości otrzymano:

$$\begin{aligned}
 M_{01} &= -16,33 \\
 M_{10} &= -11,09 \\
 M_{12} &= 11,09 \\
 M_{21} &= 30,31 \quad [kNm] \\
 M_{23} &= -18,70 \\
 M_{24} &= -11,58 \\
 M_{53} &= 23,96
 \end{aligned} \tag{1.16}$$

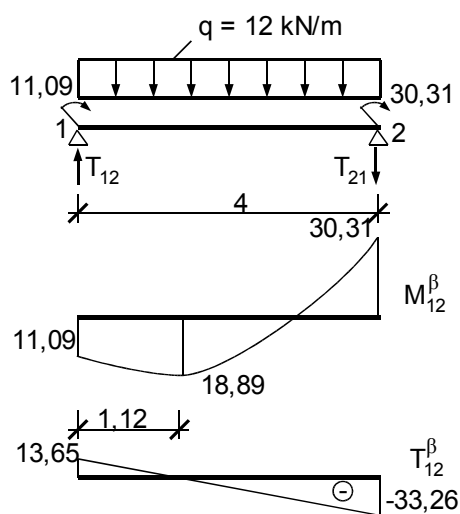
Pręt 0 – 1



Rys. 1.12. Rzeczywiste siły wewnętrzne w pręcie 0 – 1 [kN, kNm]

$$T_{10} = T_{01} = \frac{16,33 + 11,09}{5} = 5,48 \quad (1.17)$$

Pręt 1 – 2

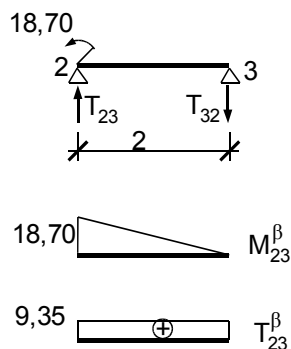


Rys. 1.13. Rzeczywiste siły wewnętrzne w pręcie 1 – 2 [kN, kNm]

$$T_{12} = \frac{-11,09 - 26,64}{4} + \frac{12 \cdot 4 \cdot 2}{4} = 13,65$$

$$T_{21} = \frac{-11,09 - 26,64}{4} - \frac{12 \cdot 4 \cdot 2}{4} = -33,26 \quad (1.18)$$

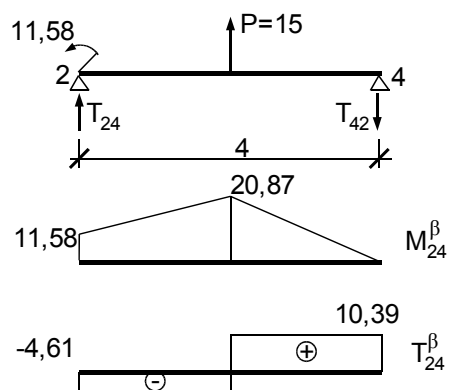
Pręt 2 – 3



Rys. 1.14. Rzeczywiste siły wewnętrzne w pręcie 2 – 3 [kN, kNm]

$$T_{23} = T_{32} = \frac{18,70}{2} = 9,35 \quad (1.19)$$

Pręt 2 – 4

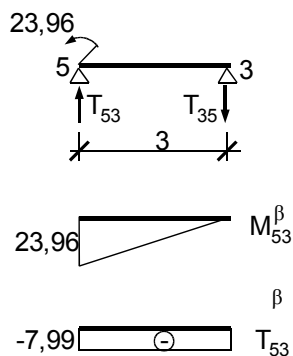


Rys. 1.15. Rzeczywiste siły wewnętrzne w pręcie 2 – 4 [kN, kNm]

$$T_{24} = \frac{11,58}{4} - \frac{15}{2} = -4,61$$

$$T_{42} = \frac{11,58}{4} + \frac{15}{2} = 10,39 \quad (1.20)$$

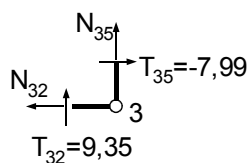
Pręt 5 – 3



Rys. 1.16. Rzeczywiste siły wewnętrzne w pręcie 5 – 3 [kN, kNm]

$$T_{24} = T_{42} = \frac{-23,96}{3} = -7,99 \quad (1.21)$$

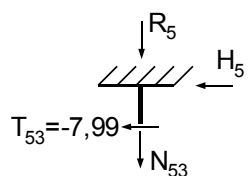
Węzeł 3



Rys. 1.17. Rzeczywiste siły w węźle 3 [kN]

$$\begin{aligned} N_{35} &= -9,35 \\ N_{32} &= -7,99 \end{aligned} \quad (1.22)$$

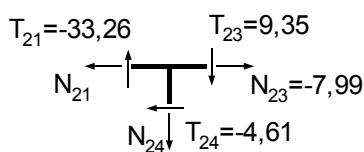
Węzeł 5



Rys. 1.18. Rzeczywiste siły w węźle 5 [kN]

$$\begin{aligned} N_{53} &= N_{35} = -9,35 \\ R_5 &= 9,35 \\ H_5 &= 7,99 \end{aligned} \quad (1.23)$$

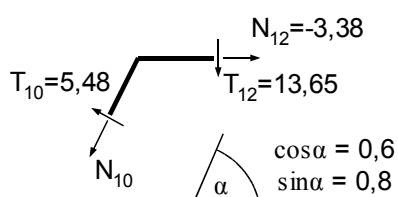
Węzeł 2



Rys. 1.19. Rzeczywiste siły w węźle 2 [kN]

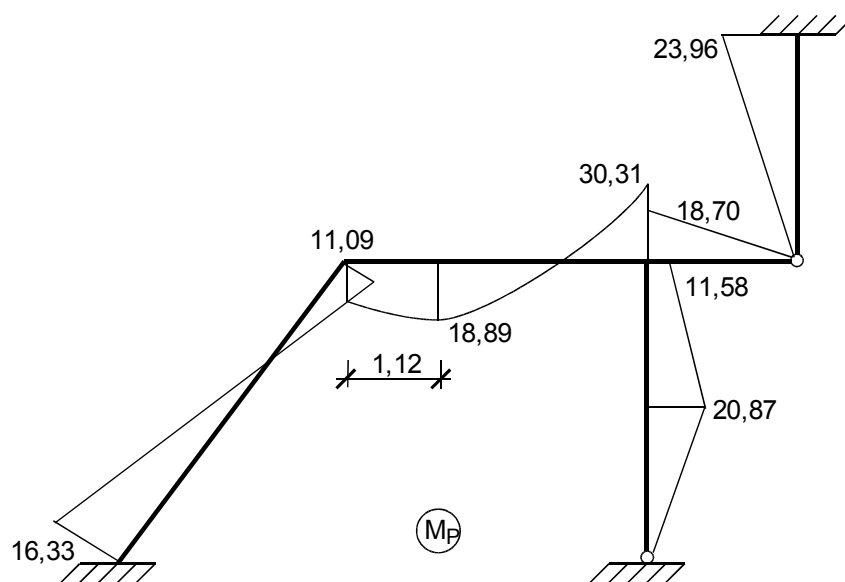
$$\begin{aligned} N_{21} &= -7,99 + 4,61 = -3,38 \\ N_{24} &= -33,36 - 9,35 = -42,61 \end{aligned} \quad (1.24)$$

Węzeł 1

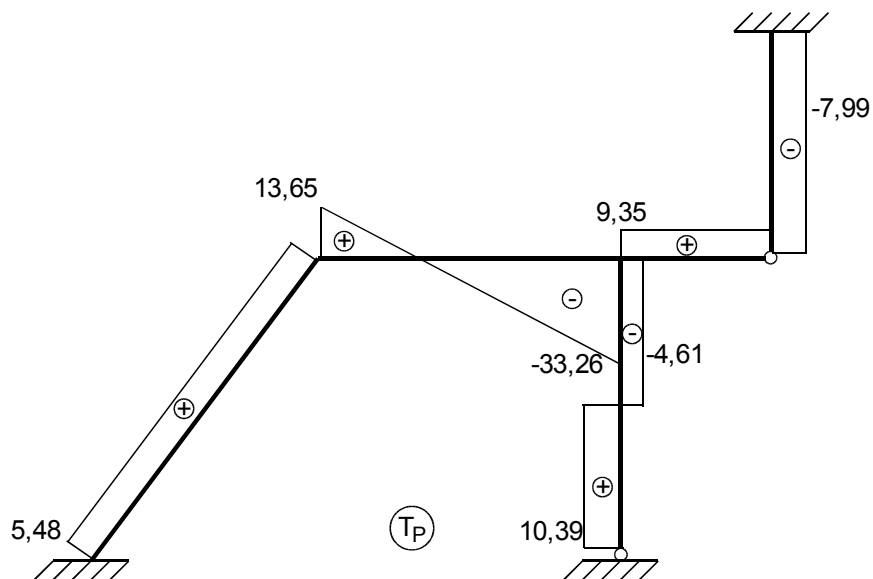


Rys. 1.20. Rzeczywiste siły w węźle 1 [kN]

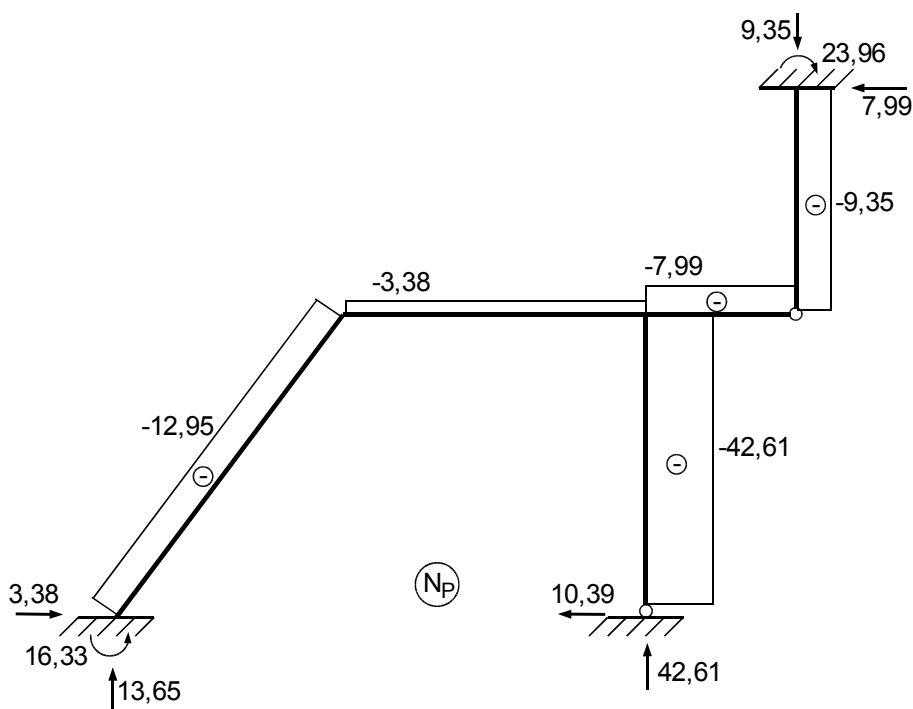
$$\begin{aligned} -T_{10} \cdot 0,8 - N_{10} \cdot 0,6 + N_{12} &= 0 \\ N_{10} &= -12,95 \end{aligned} \quad (1.25)$$



Rys. 1.22. Wykres rzeczywistych momentów zginających [kNm]



Rys. 1.23. Wykres rzeczywistych sił tnących [kN]



Rys. 1.24. Wykres rzeczywistych sił normalnych i reakcji [kN, kNm]

Kontrola statyczna:

$$\begin{aligned} \sum X &= 3,38 - 10,39 - 7,99 + 15 = 0 \\ \sum Y &= 13,65 + 42,61 - 9,35 - 12 \cdot 4 = 0,09 \approx 0 \\ \sum M^0 &= -16,33 - 42,61 \cdot 7 - 7,99 \cdot 7 + 9,35 \cdot 9 + 23,96 + 12 \cdot 4 \cdot 5 + 15 \cdot 2 = 0,76 \approx 0 \end{aligned} \quad (1.26)$$